

高性能并行计算第一次实验报告

李子槟，鲁曦

2022 年 3 月 20 日

1 一点说明

本项目由鲁曦与李子槟共同完成。

2 任务描述 & 任务分解

根据要求，本次我们需要根据.json 文件中的输入信息，在正方形区域（可能去掉一个圆）上，通过有限差分法求解给定边界条件下的泊松方程的数值解。具体地，我们把本次实验任务分解为以下几个步骤：

1. 定义所需要的 json 文件属性，明确输入格式。
2. 设计网格类，定义必要的数据类型。用于记录 json 输入文件给出的数据及要求，以及进行后续的处理。
3. 根据边界值的类型 (Dirichlet, Neumann, 或者混合类型)，给出相应的线性方程组。
4. 求解方程组，将求解结果保存到网格中。
5. 将网格中的数据输出到文件中。
6. 在 Python 中对输出文件中的数值结果进行处理，生成图像。

3 代码简介

3.1 第三方库依赖

本项目使用的第三方库有：jsoncpp, Eigen。关于 jsoncpp 此处不再赘述，下面简单介绍 Eigen 库的安装和使用。

Eigen 是符合 BLAS/LAPACK API 标准的一个高性能线性代数纯头文件库。在 Ubuntu20.04 下安装 Eigen，只需要在命令行中输入如下安装命令：**sudo apt install libeigen3-dev**。在使用时，根据需要使用，添加 Eigen 库中相应的头文件 `eigen3/Eigen/**` 即可。

3.2 代码结构

在我们的项目中，根据 OOP 的思想，我们自定义了网格节点类，网格类，以及表示边界值类型，节点类型的枚举类。并且，本项目中的大部分任务都由封装在网格类中的函数完成。

项目主要结构如下：

- **Grid.h**: 定义了网格相关的一些类：
 - *GridNodeType*: 用于指示每一个格点在要求解的区域的内部、外部、正方形边界还是圆形边界上。
 - *GridBdryType*: 用于指示网格的边条件界类型，包括纯 Dirichlet 边界，方形 Dirichlet 边界圆形 Neumann 边界，方形 Neumann 边界圆形 Dirichlet 边界、纯 Neumann 边界。
 - *GridNode*: 存储网格节点，包括函数值和边界类型两个信息。
 - *Grid*: 存储网格所有信息，包括用于存储所有节点的二维数组，边界条件类型，网格的空间步长，以及是否要挖掉圆及其圆心半径。
- **Grid.cpp**: 实现了网格所需的功能，包括根据 json 输入来构建网格，异常处理，检查网格合法性，构建要解的线性方程组的系数矩阵。
- **Array2D.h**: 定义一个模板类二维数组作为小工具。
- **main.cpp**: 程序主要流程，包括读取 json 文件，定义三个测试函数，调用 eigen 库求线性解方程组，将结果写入 txt 文件。

- **run.sh**: linux 脚本文件, 可以调用 cmake 编译并运行。
- **input.json**: 包含几个程序输入参数: 网格的空间步长、挖掉的圆的圆心半径 (null 为不挖掉)、边值条件类型 (可选参数为 Dirihlet、Neumann、DirihleNeumann、NeumannDirihlet)、测试函数编号 (可选参数为 0、1、2) 以及输出结果的路径。
- **visualize.ipynb**: python 脚本, 读取输出结果, 作图并于理论解进行比较。
- **run_all.ipynb**: pyhton 脚本, 调用系统命令一次性跑出每一种条件组合的结果。

3.3 编译说明

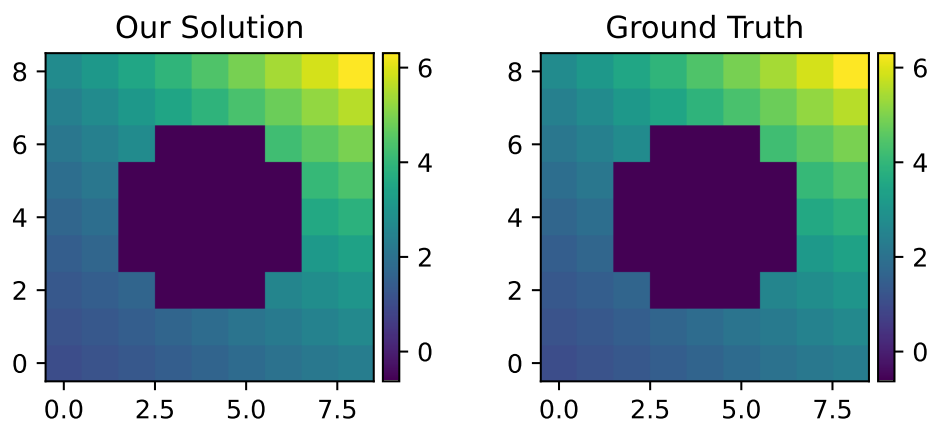
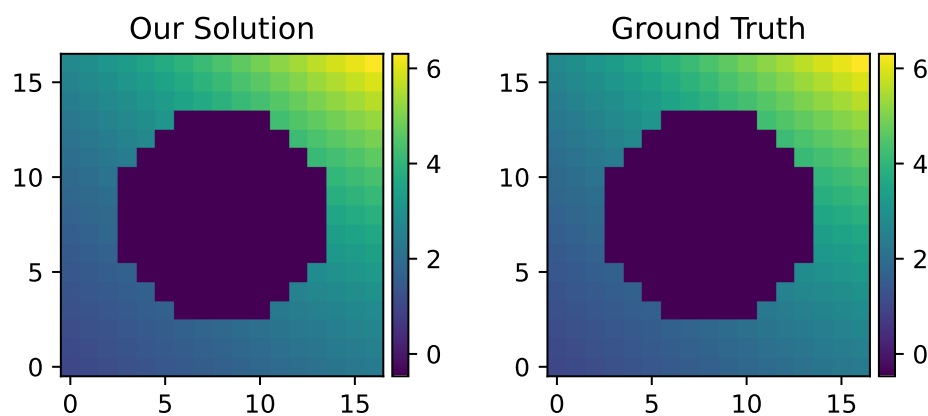
本项目使用 cmake 3.16.3 版本生成构建文件。如果希望使用 Ninja 生成器并行编译代码, 可以在生成构建文件命令中加入选项 -G ninja。否则默认将在 ./build 文件夹中生成 Makefile。通过执行 ./run.sh 脚本文件, 可以在 Ubuntu20.04 下一键完成整个编译流程。最终生成的可执行二进制文件将在 ./build 文件夹中找到。

4 数值实验

我们对网格密度为 8, 16, 32, 64 (对应的节点数分别为 9×9 、 17×17 、 33×33 、 65×65), 方形区域 Ω 的两种边界条件 (Dirichlet 与 Neumann) 和去掉一个圆的方形区域 $\Omega - D$ 的四种边界条件 (纯 Dirichlet 边界, 方形 Dirichlet 边界圆形 Neumann 边界, 方形 Neumann 边界圆形 Dirichlet 边界、纯 Neumann 边界), 与三个不同的测试函数

$$\begin{aligned} u_1(x, y) &= e^{y+\sin(x)}, \\ u_2(x, y) &= (x - 0.5)^2 + (y - 0.5)^2, \\ u_3(x, y) &= \sin(2\pi x) \sin(2\pi y), \end{aligned}$$

的所有组合进行了数值实验。我们将以作业要求中的测试函数 (第一个测试函数) 为例, 对几种情况分类展示我们的数值结果。

图 1: 测试函数 u_1 , Dirichlet 边界条件, $n = 8$.图 2: 测试函数 u_1 , Dirichlet 边界条件, $n = 16$.

4.1 Dirichlet 边界条件下的求解

我们将网格点划分为四种类型：内部点，外部点，方形边界点，圆形边界点（其他边界条件下也作相同的分类）。标记剔除外部点后，我们只需要考虑其他三类点。对于内部点，我们采取标准的五点差分法近似 Laplace 算子。由于 Dirichlet 边界条件的特殊性，边界点上的数值已经给出，因此不需要考虑为其单独设计差分格式。

求解结果如图1-4、7-9，颜色方块代表了方块中心的数值解或者真实解的数值大小，左边和右边分别是数值解与真实解的离散网格图像。

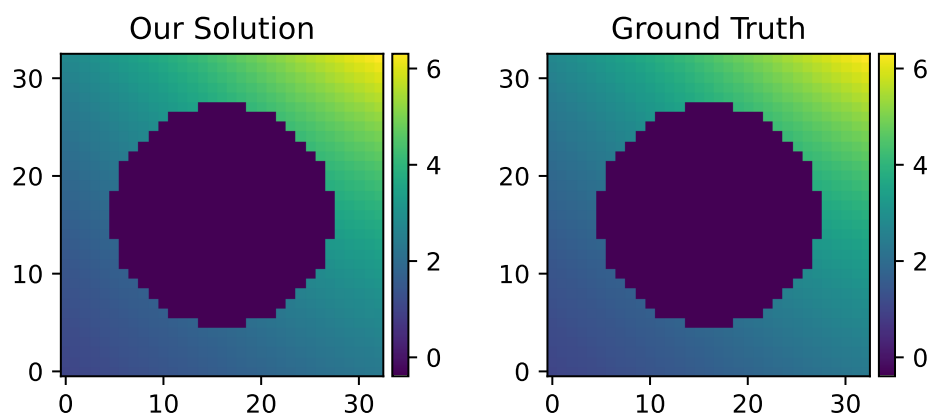


图 3: 测试函数 u_1 , Dirichlet 边界条件, $n = 32$.

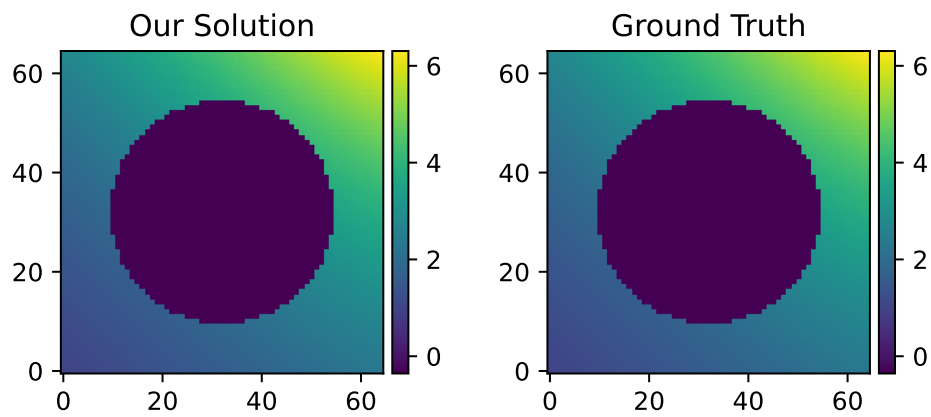


图 4: 测试函数 u_1 , Dirichlet 边界条件, $n = 64$.

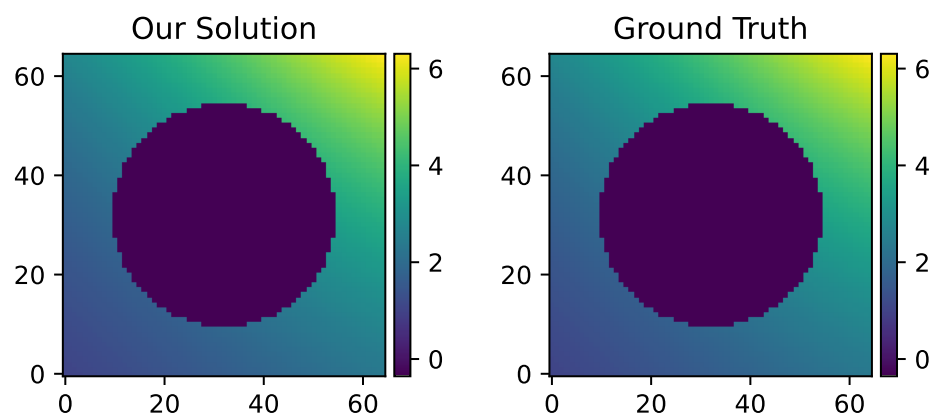


图 5: 测试函数 u_1 , Dirichlet 方形边界加 Neumann 圆形边界, $n = 64$.

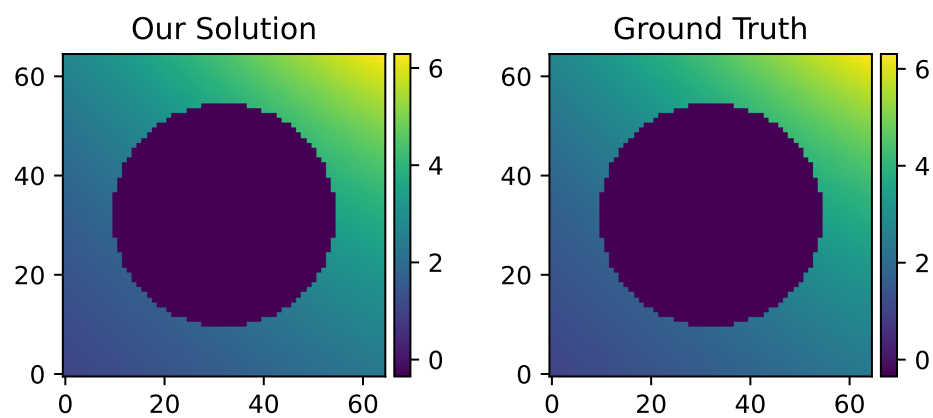


图 6: 测试函数 u_1 , Dirichlet 圆形边界加 Neumann 方形边界, $n = 64$.

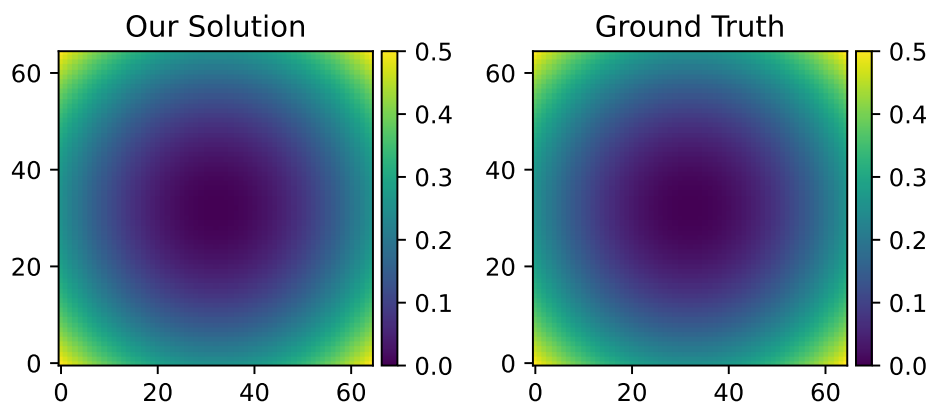


图 7: 测试函数 u_1 , 不挖掉圆, Dirichlet 边界条件, $n = 64$.

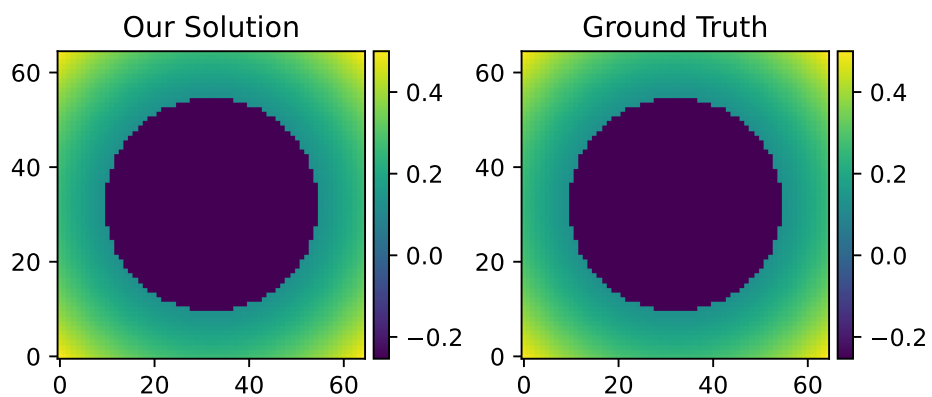


图 8: 测试函数 u_2 , Dirichlet 边界条件, $n = 64$.

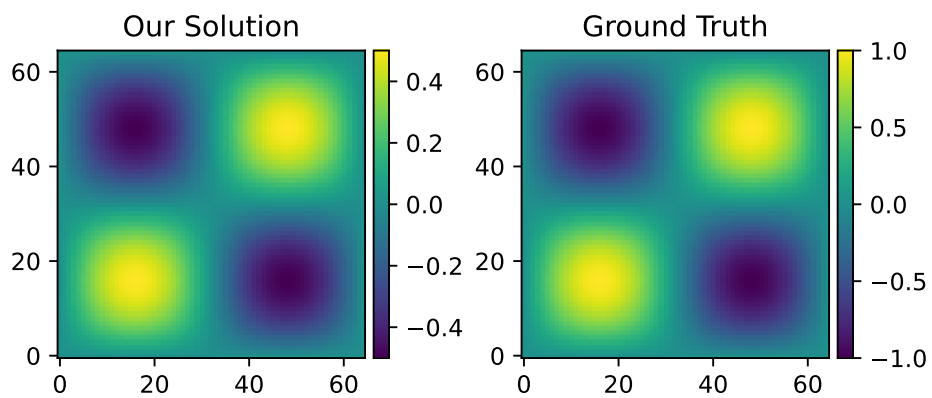


图 9: 测试函数 u_3 , 不挖掉圆, Dirichlet 边界条件, $n = 64$.

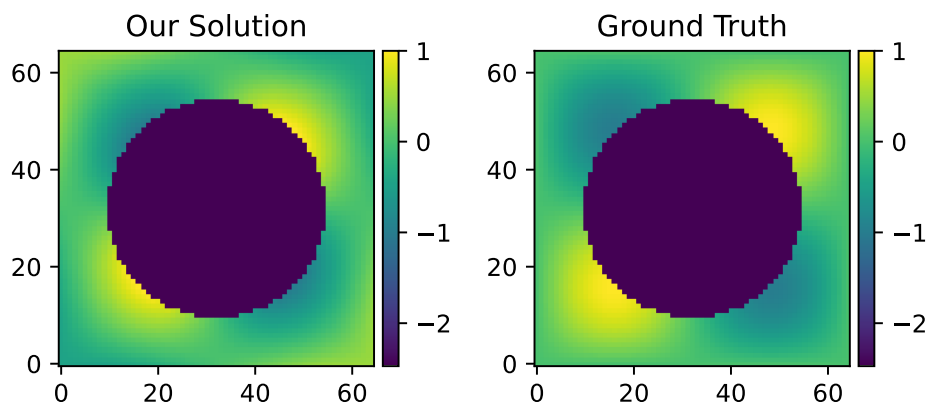


图 10: 测试函数 u_3 , Neumann 方形边界加 Dirichlet 圆形边界, $n = 64$.

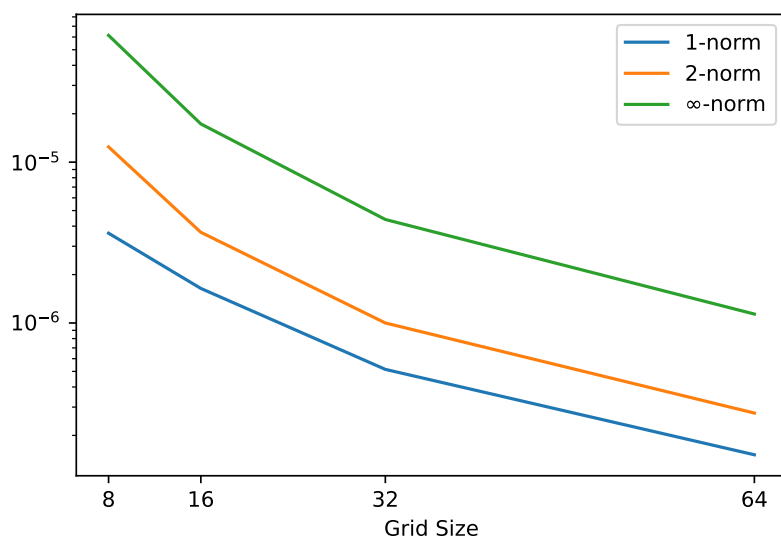


图 11: 测试函数 u_1 , Dirichlet 边界的误差范数与 n 的关系.

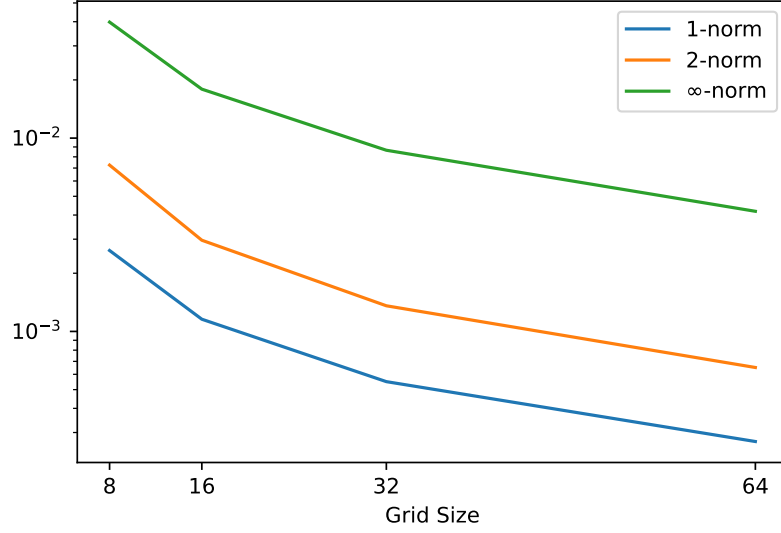


图 12: 测试函数 u_1 , Dirichlet 方形边界加 Neumann 圆形边界的误差范数与 n 的关系.

4.2 混合边界条件下的求解

对于混合边界条件, 我们考虑了两种类型: 一种是方形边界采取 Neumann 边界条件, 圆形边界采取 Dirichlet 边界条件; 另一种是方形边界采取 Dirichlet 边界条件, 圆形边界采取 Neumann 边界条件. 无论是哪一种类型, 如果边界点直接给定了解的数值, 则不需要考虑其差分格式. 如果只给了外法向方向的导数, 则需要特别的处理. 由于区域的特殊性, 节点外法向 \mathbf{n} 容易给出. 方形区域边界点 \mathbf{P}_{rect} 上, 外法向 $\mathbf{n} = (n_1, n_2)$ 必然与坐标轴垂直, 将从 \mathbf{P}_{rect} 出发沿 \mathbf{n} 方向最近的一个节点记为 \mathbf{Q}_{rect} . 在我们设计的算法中, 如果不相交或者 $\mathbf{P}_{rect}, \mathbf{Q}_{rect}$ 的距离大于一个步长 h , 则程序会抛出异常. 如果正常执行, 则我们利用如下差分格式估计 \mathbf{P} 处的方向导数:

$$\frac{u(\mathbf{P}_{rect}) - u(\mathbf{Q}_{rect})}{h}.$$

对于圆形区域的边界上的网格节点 \mathbf{P}_{circ} , 记网格节点的两个坐标轴方向为 $\mathbf{e}_x, \mathbf{e}_y$. 如果内积 $\langle \mathbf{n}, \mathbf{e}_x \rangle \geq 0$, 则我们记 x 方向上的相邻节点 $\mathbf{Q}_{rect}^{(1)} = \mathbf{P}_{rect} - h\mathbf{e}_x$, 否则则记 $\mathbf{Q}_{rect}^{(1)} = \mathbf{P}_{rect} + h\mathbf{e}_x$. 类似地, 我们可以得到 y 方向

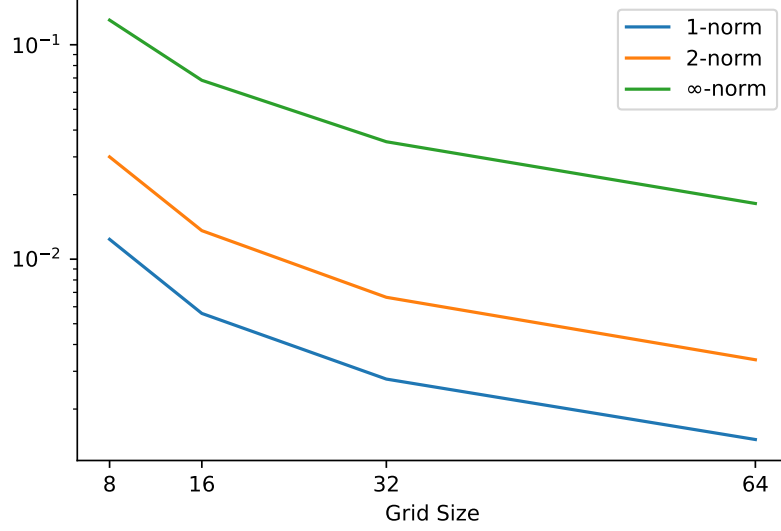


图 13: 测试函数 u_1 , Neumann 方形边界加 Dirichlet 圆形边界的误差范数与 n 的关系.

上的相邻节点 $\mathbf{Q}_{rect}^{(2)}$ 。同样地, 如果 $\mathbf{Q}_{rect}^{(i)}$ 不存在或者与 \mathbf{P} 的距离超过一个步长, 我们的程序将抛出异常。在正常运行的情况下, 根据 $\frac{\partial u}{\partial \nu} = \langle Du, \nu \rangle$, 我们在 \mathbf{P}_{rect} 处采用如下差分格式:

$$\frac{u(\mathbf{Q}_{rect}^{(1)}) - u(\mathbf{P}_{rect})}{h} \cdot |n_1| + \frac{u(\mathbf{Q}_{rect}^{(2)}) - u(\mathbf{P}_{rect})}{h} \cdot |n_2|.$$

求解结果如图5、6和10。

4.3 Neumann 边界条件下的求解

在 Neumann 边界条件下, 求解器不能正常工作, 数值实验结果如图14和图10所示。

这是因为 Neumann 边界条件本身就不能唯一确定方程组的解, 以致于从根本上导致了, 在离散差分格式中, 其差分矩阵理论上是不可逆的。这一点在数值实验中体现为, 要么差分矩阵不可逆, 根本不能求解; 要么由于机器精度导致差分矩阵接近奇异, 条件数很大, 使得求解错误。

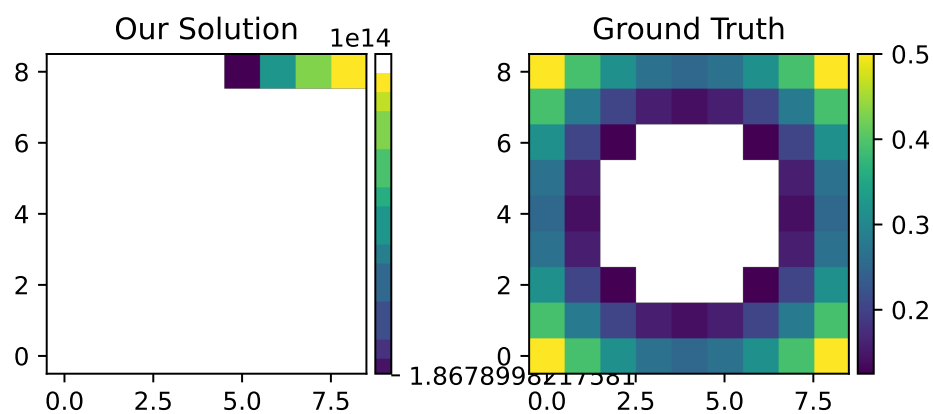


图 14: 测试函数 u_2 , Neumann 边界条件, $n = 8$ 。左图中白色区域是 NaN。

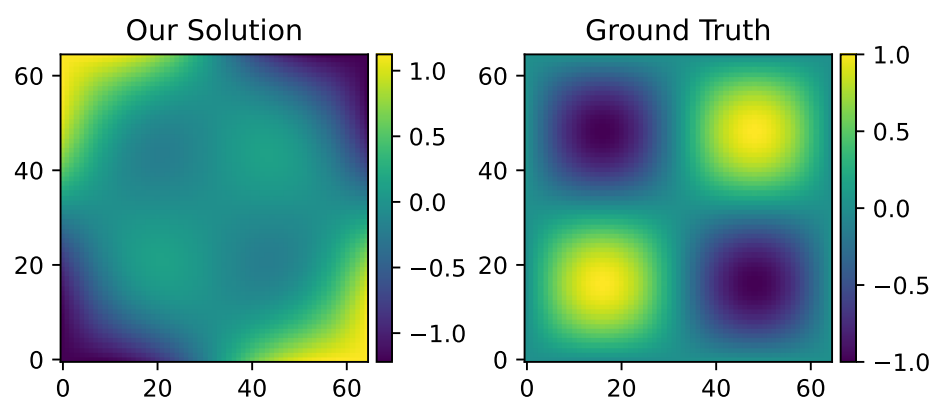


图 15: 测试函数 u_3 , 不挖掉圆, Neumann 边界条件, $n = 64$ 。